

УДК 656.13

**ТЕОРЕТИЧЕСКИЕ ОСНОВЫ  
ИССЛЕДОВАНИЯ РАБОЧИХ ОРГАНОВ НА  
ОСНОВЕ МОДЕЛИРОВАНИЯ ПРОЦЕССА  
ВТОРИЧНОЙ СЕПАРАЦИИ В  
КАРТОФЕЛЕУБОРОЧНЫХ МАШИНАХ**Рембалович Георгий Константинович  
к.т.н., доцентБезносук Роман Владимирович  
инженер  
*Рязанский государственный агротехнологический  
университет имени П.А. Костычева, Рязань, Россия*В статье рассмотрены теоретические основы  
исследования рабочих органов на основе  
моделирования процесса вторичной сепарации в  
картофелеуборочных машинахКлючевые слова: КАРТОФЕЛЬ, КЛУБЕНЬ,  
КАРТОФЕЛЕУБОРОЧНЫЙ КОМБАЙН

UDC 656.13

**THE THEORETICAL BASE OF THE  
RESEARCH WORK ON THE BASIS OF  
MODELING OF SECONDARY SEPARATION  
IN A POTATO HARVESTER**Rembalovich Georgiy Konstantinovich  
Cand.Tech.Sci., associate professorBeznosuk Roman Vladimirovich  
engineer  
*Ryazan State Agrotechnological University named  
after P.A. Kostychev, Ryazan, Russia*The article deals with the theoretical base of the  
research work on the basis of modeling of secondary  
separation in a potato harvesterKeywords: POTATO, TUBER, POTATO  
HARVESTER

По данным многочисленных исследований [1, 2, 3, 4], на современном этапе развития техники для уборки картофеля одной из актуальных научно-технических задач является совершенствование процесса и средств вторичной сепарации картофелеуборочных машин. Известно достаточно большое количество схемно-конструктивных решений органов выносной сепарации, в том числе разработанных с участием авторов данной статьи. Данные решения позволяют снизить повреждения и потери клубней в уборочной машине, а также повысить эффективность разделения примесей в первую очередь за счет использования клубнеотражателей с эластичными рабочими элементами, контактирующими с клубнями, а также за счет изменения углов их взаимного действия [5, 6, 7, 8]. Для рационализации выбора параметров и регулировок рабочих элементов современных сепарирующих органов нами предлагается описанная ниже методика, основанная на моделировании процесса вторичной сепарации, позволяющая связать воедино основные конструктивные и кинематические параметры данных устройств.

Основным критическим фактором примем максимально допустимое значение напряжения, возникающее при взаимодействии клубня с боковой поверхностью эластичного рабочего элемента. Будем считать, что пока это значение не превышено, повреждения клубней не поднимутся выше уровня, установленного агротехническими требованиями.

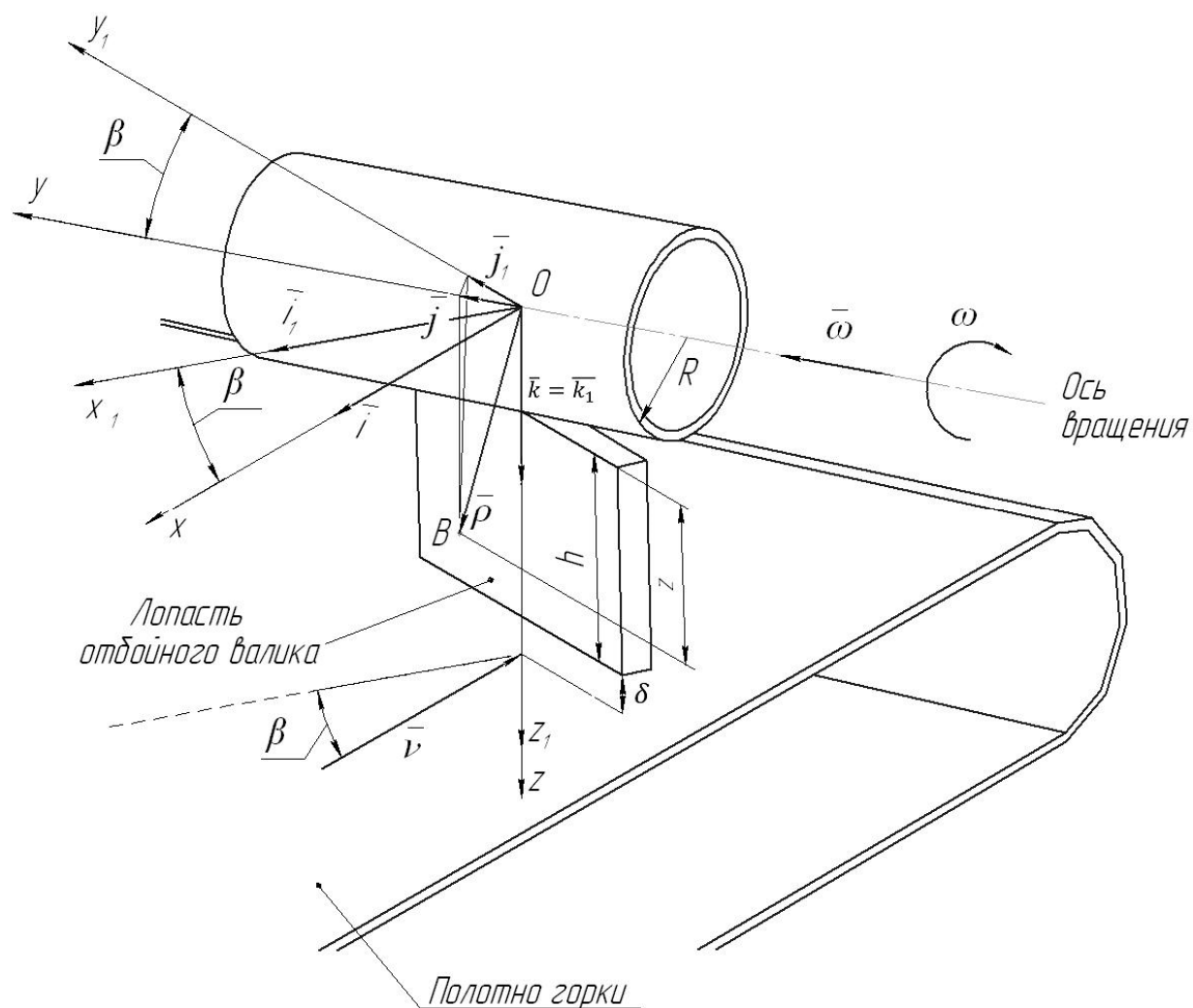
При расчете примем следующие допущения. Будем считать: клубни движутся сплошным равномерно распределенным по ширине полотна горки потоком; масса клубней, приходящихся на одну лопасть клубнеотражателя, соизмерима с массой лопасти. Поэтому при их взаимодействии будем учитывать массу клубней и массу лопасти.

Рассмотрим наиболее неблагоприятный случай взаимодействия. Наибольшая ударная нагрузка между клубнями и лопастью будет в положении, когда лопасть перпендикулярна плоскости полотна горки, т.к. в этом положении скорость клубня по отношению к лопасти достигает максимального значения.

Рассмотрим кинематику движения клубня и лопасти до удара лопасти о клубень (рисунок 1).

Рассмотрим наиболее неблагоприятный случай, при котором клубень с прикрепленным к ней столоном и неоторванной ботвой движется поступательно со скоростью  $\bar{u}$  вместе с полотном горки. Будем считать, что ботва жестко связана с полотном горки и беспрепятственно проходит под лопастью отбойного валика.

Пластина, жестко закрепленная на валу, отстоит от оси вращения вала на расстоянии  $R$  и составляет с ней угол  $\beta$ . Отбойный валик расположен горизонтально и его ось параллельна полотну горки. Следовательно, нижняя кромка лопасти будет параллельна плоскости полотна горки в положении, когда лопасть перпендикулярна полотну горки. Таким образом, зазор  $b$  между полотном горки и лопастью одинаков по всей ширине лопасти.



$\beta$  – угол между лопастью и осью отбойного валика, рад;  $ox_1y_1z_1$  – система координат, связанная с лопастью; ось  $ox$  перпендикулярна оси вала, ось  $ox_1$  перпендикулярна плоскости лопасти отбойного валика;  $R$  – расстояние от оси отбойного валика до верхнего края лопасти, м;  $z$  – расстояние от верхнего края лопасти до произвольной точки  $B$  лежащей в её плоскости, м;  $\delta$  – рабочий зазор, м.

Рисунок 1. Схема взаимодействия лопасти и клубня.

Найдем скорость произвольной точки  $B$  лопасти при вращении лопасти с угловой скоростью  $\omega$  вокруг оси отбойного валика.

Радиус-вектор точки  $B$ :

$$\vec{r}_B = -y_1 \cdot \sin b \cdot \vec{i} + y_1 \cdot \cos b \cdot \vec{j} + (R + z) \cdot \vec{k} \quad (1)$$

Вектор угловой скорости лопасти:

$$\vec{\omega} = -\omega \cdot \vec{j}, \quad (2)$$

где:  $\bar{i}, \bar{j}, \bar{k}$  – единичные орты осей  $ox, oy, oz$  соответственно.

Тогда вектор скорости точки В равен:

$$\begin{aligned} \bar{u}_B = \bar{w} \times \bar{r}_B &= \begin{vmatrix} \bar{i} & \bar{j} & \bar{k} \\ 0 & w & 0 \\ -y_1 \cdot \sin b & y_1 \cdot \cos b & (R+z) \end{vmatrix} = \\ &= w \cdot (R+z) \cdot \bar{i} + w \cdot y_1 \cdot \sin b \cdot \bar{k} \end{aligned} \quad (3)$$

Проекция вектора скорости  $\bar{u}$  на оси  $ox_1, oy_1, oz_1$  равна скалярному произведению  $\bar{u}_B$  на единичные орты этих скоростей:

$$u_{x1} = \bar{u}_B \cdot \bar{i}_1 = w \cdot (R+z) \cdot (\bar{i} \cdot \bar{i}_1) + w \cdot y_1 \cdot \sin b \cdot (\bar{k} \cdot \bar{j}_1)$$

Из рисунка 2 следует, что  $(\bar{i} \cdot \bar{i}_1) = \cos b$ ,  $(\bar{k} \cdot \bar{j}_1) = 0$ . Окончательно имеем:

$$u_{x1} = (R+z) \cdot w \cdot \cos b \quad (4)$$

$$u_{y1} = u$$

$$u_{y1} = \bar{u}_B \cdot \bar{j}_1 = (R+z) \cdot w \cdot \cos b \cdot (\bar{i} \cdot \bar{j}_1) + w \cdot y_1 \cdot \sin b \cdot (\bar{k} \cdot \bar{j}_1)$$

Из рисунка 1 следует, что  $(\bar{i} \cdot \bar{j}_1) = -\sin b$ ;  $(\bar{k} \cdot \bar{j}_1) = 0$ . В результате имеем:

$$u_{y1} = -(R+z) \cdot w \cdot \sin b, \quad (5)$$

$$u_{z1} = \bar{u}_B \cdot \bar{k}_1 = w \cdot (R+z) \cdot (\bar{i} \cdot \bar{k}_1) + w \cdot y_1 \cdot \sin b \cdot (\bar{k} \cdot \bar{k}_1)$$

Так как  $(\bar{i} \cdot \bar{k}_1) = 0$ ,  $(\bar{k} \cdot \bar{k}_1) = 0$ , то будем считать, что перемещение при изгибе пластины малы по сравнению с высотой лопасти  $h$ .

$$u_{z1} = w \cdot y_1 \cdot \sin b, \quad (6)$$

Так как лопасть испытывает косой удар по нижней кромке, то изгиб можно представить происходящим в двух плоскостях  $ox_1z$  и  $oy_1z$  (рисунок 2).

Уравнение изогнутой оси лопасти в плоскости  $ox_1z$  можно получить, используя уравнение начальных параметров:

$$x_1(z) = \frac{-f_x}{2 \cdot h^3} \cdot (3 \cdot h \cdot z^2 - z^3) \quad (7)$$

где:  $f_x$  - максимальный прогиб в направлении оси  $ox_1$ , м

Уравнение изогнутой оси лопасти в направлении оси  $oy_1$  имеет аналогичный вид:

$$y_1(z) = \frac{-f_y}{2 \cdot h} \cdot (3 \cdot h \cdot z^2 - z^3) \quad (8)$$

где:  $f_y$  - максимальный прогиб в направлении оси  $oy_1$ , м

Здесь принято, что лопасть жестко прикреплена к валу отбойного валика.

Является общепринятым допущение о пропорциональности скоростей точек оси прогибов:

$$\frac{u(z)}{f} = \frac{x_1(z)}{f}$$

Отсюда можно выразить скорость произвольного сечения лопасти при изгибе по направлению оси  $ox_1$ :

$$u_{x1}(z) = \frac{-f_x}{f_x} \cdot x_1(z) = \frac{-f_x}{2 \cdot h^3} \cdot (3 \cdot h \cdot z^2 - z^3) \quad (9)$$

Аналогично имеем скорость произвольного сечения лопасти при изгибе по направлению оси  $oy_1$ :

$$u_{y1}(z) = \frac{f_y}{2 \cdot h^3} \cdot (3 \cdot h \cdot z^2 - z^3) \quad (10)$$

Знак «-» в (9) означает, что скорости точек лопасти при её изгибе направлены в отрицательную сторону оси  $x_1$ .

Ударное взаимодействие клубня с лопастью в 1-ой фазе удара будем считать абсолютно неупругим, т.е. после первой фазы удара, когда клубень получает часть энергии лопасти, он не отскакивает от лопасти, а вместе с ней продолжает движение.

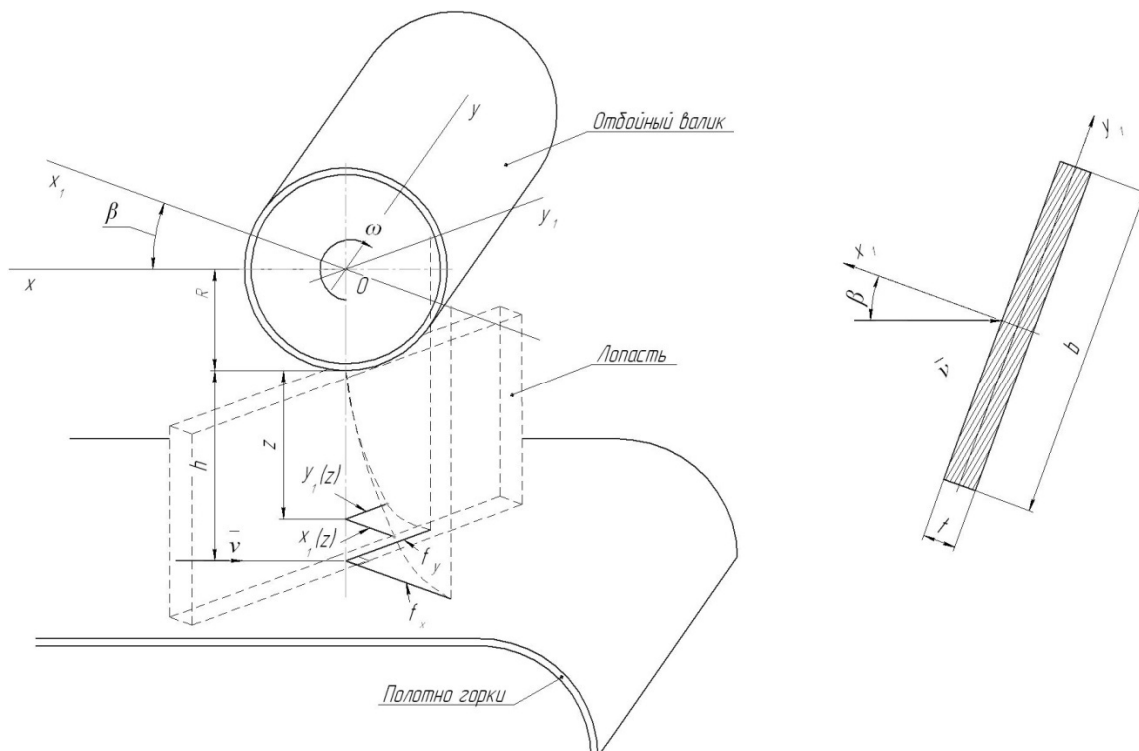
Согласно равенствам (5 – 10) скорость произвольной точки В лопасти в начале второй фазы удара будет равна:

$$u_{Bx1}^{(1)} = w \cdot (R + z) \cdot \cos b - \frac{f_x}{2 \cdot h^3} \cdot (3 \cdot h \cdot z^2 - z^3)$$

$$u_{By1}^{(1)} = w \cdot (R + z) \cdot \sin b - \frac{f_y}{2 \cdot h^3} \cdot (3 \cdot h \cdot z^2 - z^3) \quad (11)$$

$$u_{Bz1}^{(1)} = -w \cdot y_1 \cdot \sin b$$

В равенстве неизвестными являются скорости точки в месте удара при изгибе лопасти  $f_x$  и  $f_y$ .



$z$  – текущая координата поперечного сечения лопасти;  $h$  – высота лопасти, м;  $x_1(z)$  – перемещение точки оси лопасти с координатой  $z$  по направлению оси  $x_1$ , м;  $y_1(z)$  – перемещение точки оси лопасти с координатой  $z$  по направлению оси  $y_1$ , м;  $f_x$ ,  $f_y$  – аналогичные перемещения в месте удара клубня о лопасть, м; оси  $ox_1$ ,  $oy_1$  – главные центральные оси инерции поперечного сечения;  $R$  – расстояние от оси вращения отбойного валика до лопасти;  $\vec{v}$  – вектор скорости клубня;  $b$  – ширина лопасти, м;  $t$  – толщина лопасти, м.

Рисунок 2. Схема деформирования лопасти при косом изгибе.

Так как клубни в начале второй фазы удара движутся вместе с точками нижней кромки лопасти, то проекции скорости клубней равны:

$$u_{Bx1}^{(1)} = w \cdot (R + z) \cdot \cos b - f_x$$

$$u_{By1}^{(1)} = w \cdot (R + z) \cdot \sin b - \dot{f}_y \quad (12)$$

$$u_{Bz1}^{(1)} = -w \cdot y_1 \cdot \sin b$$

Скорости нижней точки оси лопасти  $\dot{f}_x$  и  $\dot{f}_y$  найдем, используя теорему Карно, согласно которой, потерянная кинетическая энергия системы клубень - лопасть за время первой фазы удара равна кинетической энергии потерянных скоростей клубня и лопасти.

Кинетическая энергия пластины до удара:

$$T_i^0 = \frac{1}{2} \cdot \int_0^h \int_{-b/2}^{b/2} u_B^2 dm, \quad (13)$$

где:  $dm = \gamma \cdot t dz dy$  - масса элементарного объема лопасти толщиной  $t$  в точке В, кг;

$\gamma$  – объемный вес материала лопасти, Н/м<sup>3</sup>.

Квадрат скорости точки В лопасти равен:

$$u_B^2 = u_{x1}^2 + u_{y1}^2 + u_{z1}^2 \quad (14)$$

Подставляем (14) в (13) и используя выражения (4), (5), (6) получим:

$$T_i^0 = \frac{1}{2} \cdot \gamma \cdot t \cdot w^2 \cdot \int_0^h \int_{-b/2}^{b/2} [(R + z)^2 \cdot \cos^2 b + (R + z)^2 \cdot \sin^2 b + y_1^2 \cdot \sin^2 b] dz dy \quad (15)$$

Вычисляя интегралы в (15) получим:

$$T_i^0 = \frac{1}{2} \cdot M \cdot w^2 \left[ R \cdot (R + h) + \frac{h^2}{3} + \frac{b^2}{12} \cdot \sin^2 b \right], \quad (16)$$

где: М – масса пластины, кг.

Кинетическая энергия клубней до удара:

$$T_k^0 = \frac{1}{2} \cdot m \cdot u^2, \quad (17)$$

где: m – масса клубней по ширине лопасти, кг;

$u$  – скорость клубней, движущихся вместе с лентой элеватора, м/с.

Кинетическая энергия лопасти в конце первой фазы удара равна:

$$T_i^{(1)} = \frac{1}{2} \cdot g \cdot t \cdot \int_0^h \int_{-b/2}^{b/2} (u_{Bx1}^2 + u_{By1}^2 + u_{Bz1}^2) dz dy \quad (18)$$

Подставим в (18) равенство (11):

$$T_i^{(1)} = \frac{1}{2} \cdot g \cdot t \cdot \int_0^h \int_{-b/2}^{b/2} \left\{ \left[ w \cdot (R+z) \cdot \cos b - \frac{f_x}{2 \cdot h^3} \cdot (3 \cdot h \cdot z^2) \right]^2 + \left[ -w \cdot (R+z) \cdot \sin b + \frac{f_x}{2 \cdot h^3} \cdot (3 \cdot h \cdot z^2 - z^3) \right]^2 + w^2 \cdot y_1^2 \cdot \sin^2 b \right\} dy dz$$

Выполняя интегрирование, получим:

$$T_i^{(1)} = \frac{1}{2} \cdot M \cdot \left\{ w^2 \cdot \left[ R \cdot (R+h) + \frac{h^2}{3} \right] - 2 \cdot w \cdot (f_x \cdot \cos b + f_y \cdot \sin b) \cdot \left( \frac{3}{8} \cdot R + \frac{11}{40} \cdot h \right) + \frac{33}{140} \cdot (f_x^2 + f_y^2) + w^2 \cdot \frac{b^2}{12} \cdot \sin^2 b \right\} \quad (19)$$

Кинетическая энергия клубней в конце первой фазы удара равна:

$$T_k^{(1)} = \frac{m}{2} \cdot \left[ (u_{x1}^{(1)})^2 + (u_{y1}^{(1)})^2 + (u_{z1}^{(1)})^2 \right]$$

Подставим сюда равенство (12) и вычислим интеграл:

$$T_k^{(1)} = \frac{m}{2} \cdot \left\{ \left[ w \cdot (R+h) \cdot \cos b - \frac{f_x}{2 \cdot h^3} \right]^2 + \left[ -w \cdot (R+h) \cdot \sin b + \frac{f_x}{2 \cdot h^3} \right]^2 + \frac{b^2}{12} \cdot w^2 \cdot \sin^2 b \right\} \quad (20)$$

Потерянные скорости клубней и лопасти за время первой фазы удара - это разность между их скоростями до удара и их скоростями в конце первой фазы удара. Потерянные скорости клубней и лопасти найдем, используя равенства (5, 10, 11). Так, для лопасти имеем:

$$u_{Bx1}^* = u_{Bx1} - u_{Bx1}^{(1)} = \frac{f_x}{2 \cdot h^3} \cdot (3 \cdot h \cdot z^2 - z^3)$$

$$u_{By1}^* = u_{By1} - u_{By1}^{(1)} = -\frac{f_y}{2 \cdot h^3} \cdot (3 \cdot h \cdot z^2 - z^3) \quad (21)$$

$$u_{Bz1}^* = u_{Bz1} - u_{Bz1}^{(1)} = 0$$

для клубня:

$$\begin{aligned} u_{x1}^* &= u_{x1}^{(0)} - u_{x1}^{(1)} = u \cdot \cos b - (w \cdot (R + h) \cdot \cos b - \dot{f}_x), \\ u_{y1}^* &= u_{y1}^{(0)} - u_{y1}^{(1)} = u \cdot \sin b - (w \cdot (R + h) \cdot \sin b + \dot{f}_y), \\ u_{z1}^* &= u_{z1}^{(0)} - u_{z1}^{(1)} = 0 + w \cdot y_1 \cdot \sin b = w \cdot y_1 \cdot \sin b, \end{aligned} \quad (22)$$

где:  $u_{x1}^{(0)}$ ,  $u_{y1}^{(0)}$ ,  $u_{z1}^{(0)}$  - проекции скорости клубней, движущихся вместе с полотном горки.

Кинетическая энергия потерянных скоростей лопасти равна:

$$T_i^* = \frac{1}{2} \cdot g \cdot b \cdot t \cdot \int_0^h \left[ (u_{Bx1}^*)^2 + (u_{By1}^*)^2 + (u_{Bz1}^*)^2 \right] dz$$

Подставим сюда равенства (21) и выполнив интегрирование, получим:

$$T_i^* = \frac{1}{2} \cdot M \cdot \frac{33}{140} \cdot (\dot{f}_x^2 + \dot{f}_y^2) \quad (23)$$

Кинетическая энергия потерянных скоростей клубня:

$$T_k^* = \frac{m}{2} \cdot \left[ (u_{Bx1}^*)^2 + (u_{By1}^*)^2 + (u_{Bz1}^*)^2 \right]$$

Подставим сюда равенство (22) и выполним интегрирование:

$$\begin{aligned} T_k^* &= \frac{1}{2} \cdot m \cdot u^2 + \frac{1}{2} \cdot m \cdot \left[ 2 \cdot u \cdot \cos b \cdot (w \cdot (R + h) \cdot \cos b - \dot{f}_x) + \right. \\ &+ (w \cdot (R + h) \cdot \cos b - \dot{f}_x)^2 - 2 \cdot u \cdot \sin b \cdot (-w \cdot (R + h) \cdot \sin b + \dot{f}_y) + \\ &\left. + (-w \cdot (R + h) \cdot \sin b - \dot{f}_y)^2 + w^2 \cdot \frac{b^2}{12} \cdot \sin^2 b \right] \end{aligned} \quad (24)$$

Согласно теореме Карно при неупругом ударе потерянная кинетическая энергия системы равна кинетической энергии потерянных скоростей:

$$T^{(0)} - T^{(1)} = T^* \quad (25)$$

где:  $T^{(0)} = T_i^{(0)} + T_k^{(0)}$  - кинетическая энергия системы до удара;

$T^{(1)} = T_i^{(1)} + T_k^{(1)}$  - кинетическая энергия системы в конце первой фазы удара;

$T^* = T_i^* + T_k^*$  - кинетическая энергия потерянных скоростей

клубнями и лопастью.

С учетом этого уравнение (25) перепишем в виде:

$$(T_i^{(0)} - T_i^{(1)}) + (T_k^{(0)} - T_k^{(1)}) = T^* \quad (26)$$

Вычислим разности в (26) и приведем их виду удобному для анализа полученного уравнения. Вычтем из равенства (16) равенство (19):

$$T_i^{(0)} - T_i^{(1)} = \frac{1}{2} \cdot M \cdot [2 \cdot w \cdot (f_x \cdot \cos b + f_y \cdot \sin b) \cdot \left( \frac{3}{8} \cdot R + \frac{11}{40} \cdot h \right) - \frac{33}{140} \cdot (f_x^2 + f_y^2)] \quad (27)$$

Вычтем из равенства (17) равенство (20):

$$T_k^{(0)} - T_k^{(1)} = \frac{1}{2} \cdot m \cdot u^2 - \frac{1}{2} \cdot m \cdot \{ [w \cdot (R+h) \cdot \cos b - f_x]^2 + [w \cdot (R+h) \cdot \sin b + f_y]^2 + \frac{b^2}{12} \cdot w^2 \cdot \sin^2 b \} \quad (28)$$

Подставим выражения (24), (27), (28) в равенство (26) и преобразуем полученное выражение к виду, удобному для анализа:

$$\begin{aligned} & \frac{33}{140} \cdot M \cdot (f_x^2 + f_y^2) + \frac{m}{2} \cdot (2 \cdot u \cdot \cos b + 2 \cdot w \cdot (R+h) \cdot \cos b - f_x) \cdot \\ & \cdot (w \cdot (R+h) \cdot \cos b - f_x) + \frac{m}{2} \cdot (-2 \cdot u \cdot \sin b + 2 \cdot \\ & \cdot (-w \cdot (R+h) \cdot \sin b + f_y)) \cdot (w \cdot (R+h) \cdot \sin b + f_y) + \\ & + m \cdot w^2 \cdot \frac{b^2}{12} \cdot \sin^2 b - M \cdot w \cdot (f_x \cdot \cos b + f_y \cdot \sin b) \cdot \\ & \cdot \left( \frac{3}{8} \cdot R + \frac{11}{40} \cdot h \right) = 0 \end{aligned} \quad (29)$$

Сгруппируем величины, содержащие  $f_x$  и  $f_y$  по отдельности:

$$\begin{aligned} & \left[ \frac{33}{140} \cdot M \cdot f_x^2 + m \cdot (u \cdot \cos b + w \cdot (R+h) \cdot \cos b - f_x) \cdot \right. \\ & \left. \cdot (w \cdot (R+h) - f_x) \cdot \cos b - M \cdot w \cdot f_x \cdot \cos b \cdot \left( \frac{3}{8} \cdot R + \frac{11}{40} \cdot h \right) + \right. \end{aligned}$$

$$\begin{aligned}
 & + \frac{33}{140} \cdot M \cdot f_y^2 + m \cdot (-u \cdot \sin b + w \cdot (R+h) \cdot \sin b + f_y^2) \cdot \\
 & \cdot (-w \cdot (R+h) \cdot \sin b + f_y) + m \cdot \frac{b^2}{12} \cdot w^2 \cdot \sin^2 b - \\
 & - M \cdot w \cdot \left( \frac{3}{8} \cdot R + \frac{11}{40} \cdot h \right) \cdot f_y \cdot \sin b = 0
 \end{aligned} \tag{30}$$

Выражения в квадратных скобках независимы друг от друга. Их сумма может равняться нулю, тогда и только тогда, когда каждые из этих выражений в квадратных скобках равны нулю. Таким образом, уравнение (29) равносильно двум уравнениям.

$$\begin{aligned}
 & \frac{33}{140} \cdot M \cdot f_x^2 + m \cdot ((u + w \cdot (R+h)) \cdot \cos b + f_x^2) \cdot (w \cdot (R+h) \cdot \cos b - f_x) - \\
 & - M \cdot w \cdot \left( \frac{3}{8} \cdot R + \frac{11}{40} \cdot h \right) \cdot f_x \cdot \cos b = 0
 \end{aligned} \tag{31}$$

$$\begin{aligned}
 & \frac{33}{140} \cdot M \cdot f_y^2 + m \cdot ((-u - w \cdot (R+h)) \cdot \sin b + f_y^2) \cdot (-w \cdot (R+h) \cdot \sin b + f_y) - \\
 & - M \cdot w \cdot \left( \frac{3}{8} \cdot R + \frac{11}{40} \cdot h \right) \cdot f_y \cdot \sin b + m \cdot \frac{b^2}{12} \cdot w^2 \cdot \sin^2 b = 0
 \end{aligned} \tag{32}$$

Раскроем скобки в (31) и (32) и сгруппируем подобные члены. В результате получим квадратные уравнения относительно  $f_x$  и  $f_y$ .

$$\begin{aligned}
 & \left( m + \frac{33}{140} \cdot M \right) \cdot f_x^2 - f_x \cdot \left[ m \cdot (u + 2w \cdot (R+h)) + M \cdot w \cdot \left( \frac{3}{8} \cdot R + \frac{11}{40} \cdot h \right) \right] \cdot \cos b + \\
 & + m \cdot (u + 2w \cdot (R+h)) \cdot w \cdot (R+h) \cdot \cos^2 b = 0
 \end{aligned} \tag{33}$$

$$\begin{aligned}
 & \left( m + \frac{33}{140} \cdot M \right) \cdot f_y^2 - f_y \cdot \left[ m \cdot (u + 2w \cdot (R+h)) + M \cdot w \cdot \left( \frac{3}{8} \cdot R + \frac{11}{40} \cdot h \right) \right] \cdot \sin b + \\
 & + m \cdot \left[ (u + 2w \cdot (R+h)) \cdot w \cdot (R+h) + \frac{b^2}{12} \cdot w^2 \right] \cdot \sin^2 b = 0
 \end{aligned} \tag{34}$$

Решение уравнений (33) и (34) имеет вид:

$$f_{x1,2} = \frac{B \pm \sqrt{B^2 - 4 \cdot A \cdot C}}{2 \cdot A} \cdot \cos b, \tag{35}$$

$$f_{y1,2} = \frac{B \pm \sqrt{B^2 - 4 \cdot A \cdot C_1}}{2 \cdot A} \cdot \sin b, \tag{36}$$

$$\text{где: } A = m + \frac{33}{140} \cdot M ;$$

$$B = m \cdot (u + 2w \cdot (R + h)) + M \cdot w \cdot \left( \frac{3}{8} R + \frac{11}{40} h \right) ;$$

$$C = m \cdot (u + 2w \cdot (R + h)) \cdot w \cdot (R + h) ;$$

$$C_1 = m \cdot \left[ (u + 2w \cdot (R + h)) \cdot w \cdot (R + h) + \frac{b^2}{12} \right]$$

Чтобы определить знак перед корнем (35) и (36) рассмотрим случай, когда массой М лопасти можно пренебречь.

В этом случае:

$$f_{x1,2} = \frac{u + 2w \cdot (R + h) \pm u}{2} \cdot \cos b$$

Если взять знак «+», то:

$$f_x = (u + w \cdot (R + h)) \cdot \cos b$$

Если взять знак «-», то:

$$f_x = w \cdot (R + h) \cdot \cos b$$

В безынерционной лопасти начальная скорость массы  $m$  равна относительной скорости массы  $m$  и точки удара массы о лопасть. Т.е.:

$$(u + w \cdot (R + h)) \cdot \cos b$$

Следовательно, в решении (35) и (36) надо брать знак «+».

Вычислив  $f_x$  из (35)  $f_y$  из (36) можно определить кинетическую энергию системы вначале второй фазы удара по равенствам (19) и (20).

Во второй фазе удара происходит деформация лопасти и натяжение столонов связывающих ботву с клубнями. Схематически деформированные состояния оси лопасти и растительных остатков изображены на рисунке 3.

Вторая фаза удара продолжается малый промежуток времени  $t = (0,02-0,05)$  с, поэтому движение точки лопасти при ее повороте на угол

$\varphi = \omega \cdot t$  можно считать происходящим по касательной к окружности с точностью до:

$$\tan^2 \varphi \approx \varphi^2$$

Перемещение столона вместе с полотном горки (предполагается что ботва жестко связана с полотном горки):

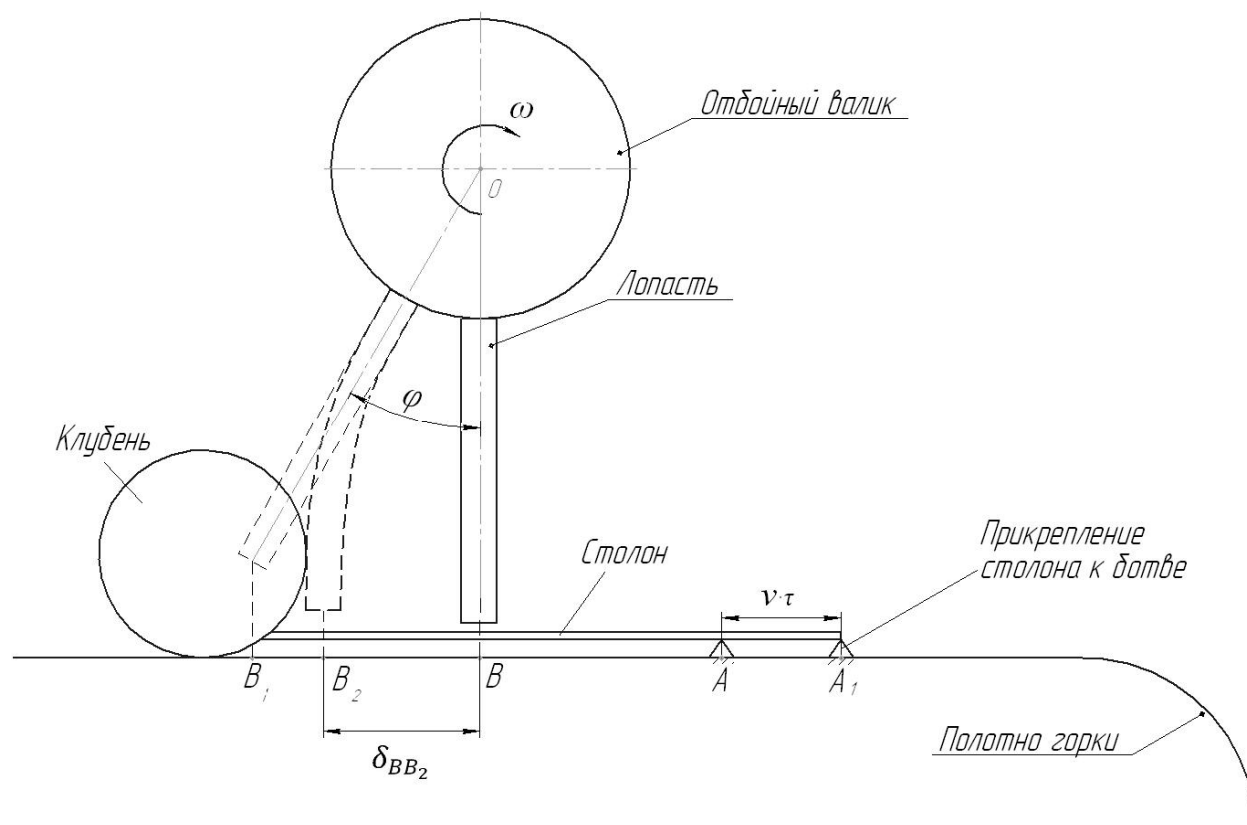
$$AA_1 = u \cdot t \quad (37)$$

Проекция полного прогиба на направление столона:

$$f = f_x \cdot \cos b + f_y \cdot \sin b \quad (38)$$

Перемещение точки В без учета деформации лопасти:

$$BB_1 = w \cdot (R + h) \cdot t \quad (39)$$



AB – начальная длина столона; A1B1 – длина столона в результате его деформации; B1B2 – полный прогиб лопасти в месте соударения с клубнем;  $ox_1y_1$  – главные центральные оси инерции поперечного сечения лопасти; AA1 - перемещение столон вместе с полотном горки (предполагается что ботва жестко связана с полотном горки); BB1 - перемещение точки В без учета деформации лопасти.

Рисунок 3. Схема к определению удлинения корня клубня.

Поскольку жесткость лопасти в направлении оси  $x_1$  существенно меньше жесткости в направлении оси  $y_1$ , то  $f_x$  существенно больше  $f_y$  и прогибы  $f_x$  и  $f_y$ .

малы по сравнению с длиной столона, то изменением направления столона за счет прогибов лопасти можно пренебречь. Тогда удлинение столона:

$$\Delta l = AA_1 + BB_2, \quad (40)$$

где:  $BB_2 = BB_1 - f = d_{BB_2}$

(41)

Подставляя (37), (38),(39), (41) в (40), получим:

$$\Delta l = u \cdot t + d_{BB_2} = u \cdot t + w \cdot t \cdot (R + h) - f_x \cdot \cos b - f_y \cdot \sin b \quad (42)$$

Уравнение (42) является уравнением совместимости деформаций лопасти и столона.

Удлинение столона можно выразить через продольную силу  $N$  в столоне соотношением:

$$\Delta l = \frac{N}{C_k} \quad (43)$$

где:  $C_k$  - жесткость столона на растяжение, Н/м;

$N$  – продольная сила в столоне, Н.

Прогибы лопасти можно выразить через усилия, с которыми клубни и столоны действуют на лопасть по известной из сопротивления материалов формуле для балки консоли.

Суммарные воздействия силы, с которой клубень действует на лопасть  $F_k$  и усилие, действующее со стороны клубня  $N$ , равно силе  $F_n$ :

$$F_i = F_k + N \quad (44)$$

Проекция силы  $F_n$  на оси  $x_1, y_1$  равны:

$$F_{ix} = F_i \cdot \cos b, \quad F_{iy} = F_i \cdot \sin b$$

Прогибы в месте удара равны:

$$f_{x1} = \frac{F_{ix} \cdot h^3}{3 \cdot E_i \cdot I_{y1}} = \frac{F_i \cdot \cos b \cdot h^3}{3 \cdot E_i \cdot I_{y1}}, \quad f_{y1} = \frac{F_{iy} \cdot h^3}{3 \cdot E_i \cdot I_{x1}} = \frac{F_i \cdot \sin b \cdot h^3}{3 \cdot E_i \cdot I_{x1}} \quad (45)$$

где:  $I_{x1}, I_{y1}$  - осевые моменты инерции поперечного сечения лопасти относительно осей  $x_1$  и  $y_1$  соответственно;

$E_p$  – модуль упругости (модуль Юнга) материала лопасти.

Подставим (43) и (45) в уравнение совместности деформации (42):

$$\frac{N^2}{C_k} + \frac{F_r^2 \cdot h^3}{3 \cdot E_r} \cdot \left( \frac{\cos^2 b}{I_{y1}} + \frac{\sin^2 b}{I_{x1}} \right) = (u + w \cdot (R + h)) \cdot t \quad (46)$$

Второе уравнение для определения  $N$  и  $F_p$  получим используя теорему об изменении кинетической энергии в относительном движении во время второй фазы удара:

$$T - T_0 = A^{(i)} + A^{(l)} + A_{i\ddot{a}\ddot{a}}^{ei}, \quad (47)$$

где:  $T, T_0$  – кинетические энергии относительного движения в конце и в начале второй фазы удара;

$A^{(i)}$  - работа внутренних сил;

$A^{(l)}$  – работа внешних сил;

$A_{i\ddot{a}\ddot{a}}^{ei}$  - работа сил инерции переносного движения.

В конце второй фазы удара прогиб достигает максимального значения, а скорость относительного движения равна нулю, следовательно:

$$T=0 \quad (48)$$

В начале второй фазы удара прогиб достигает максимального значения, а скорости точек лопасти и клубней связанные со скоростями прогибов лопасти  $f_x$  и  $f_y$  определяются согласно равенствам (19) и (20):

$$T_0 = \frac{1}{2} \cdot \left( m + \frac{33}{140} \cdot M \right) \cdot (f_x^2 + f_y^2) \quad (49)$$

Работа внутренних сил:

$$A^{(i)} = -U, \quad (50)$$

где:  $U$  – потенциальная энергия деформации системы, т.е. лопасти и столонов.

Работа внешних сил  $A^{(l)}$  (пренебрегая работой силы тяжести при ударе) равна нулю.

Работа сил инерции переносного движения  $A_{\text{пер}}^{\text{ин}}$  при равномерном вращении плоскости также равна нулю, так как нормальная составляющая ускорения перпендикулярна перемещению точек лопасти и клубней.

В результате равенство (47) с учетом (48), (49), (50) принимает вид:

$$U_i + U_k = \frac{1}{2} \cdot \left( m + \frac{33}{140} \cdot M \right) \cdot (\dot{f}_x^2 + \dot{f}_y^2) \quad (51)$$

где:  $U_{\text{п}}$ ,  $U_{\text{к}}$  – потенциальные энергии столонов и лопасти.

Потенциальная энергия деформации лопасти при косом изгибе равна:

$$U_i = \int_0^h \frac{M_x^2 dz}{2 \cdot I_x \cdot E_i} + \int_0^h \frac{M_y^2 dz}{2 \cdot I_y \cdot E_i} \quad (52)$$

где:  $M_x$ ,  $M_y$  – изгибающие моменты в лопасти от силы  $F_{\text{п}}$  в момент когда скорость движения лопасти от изгиба равна нулю, т.е.  $\dot{f}_x^2 = \dot{f}_y^2 = 0$ . В этот момент на лопасть будет действовать максимальная сила давления  $F_{\text{п}}$ .

Изгибающие моменты равны:

$$M_{x1}(z) = F_i \cdot \sin b \cdot z, \quad M_{y1}(z) = F_i \cdot \cos b \cdot z, \quad (53)$$

где:  $z$  – координата сечения, отсчитываемая от низа лопасти.

Подставляем (53) в (52) и интегрируя, получим:

$$\begin{aligned} U_i &= \int_0^h \frac{(F_i \cdot \sin b)^2 dz}{2 \cdot I_x \cdot E_i} + \int_0^h \frac{(F_i \cdot \cos b)^2 dz}{2 \cdot I_y \cdot E_i} = \\ &= \frac{F_i \cdot h^3}{6 \cdot E_i} \cdot \left[ \frac{\sin^2 b}{I_x} + \frac{\cos^2 b}{I_y} \right] \end{aligned} \quad (54)$$

Столон, связывающий клубень с ботвой, работает на растяжение. Поэтому в пределах упругих деформаций:

$$U_k = \frac{N^2}{2 \cdot C_d} \quad (55)$$

Подставим (54), (55) в выражение (47). В результате получим второе уравнение относительно  $F_{\text{п}}$  и  $N$ :

$$\frac{N^2}{C_d} + \frac{F_i^2 \cdot h^3}{3 \cdot E} \cdot \left( \frac{\cos^2 b}{I_{x1}} + \frac{\sin^2 b}{I_{y1}} \right) = (\dot{f}_x^2 + \dot{f}_y^2) \cdot \left( m + \frac{33}{140} \cdot M \right) \quad (56)$$

Систему уравнений (46), (56) запишем в виде:

$$\begin{cases} aN + bF_i = c \\ aN^2 + bF_i^2 = d \end{cases} \quad (57)$$

где:  $a = \frac{1}{C_a}$ ;  $b = \frac{h^3}{3 \cdot E} \cdot \left( \frac{\cos^2 b}{I_{x1}} + \frac{\sin^2 b}{I_{y1}} \right)$ ;

$$\tilde{n} = (u + w \cdot (R + h)) \cdot t; \quad d = (f_x^2 + f_y^2) \cdot \left( m + \frac{33}{140} \cdot M \right)$$

(58)

Решение системы уравнений (57) может быть получено методом подстановки:

$$F_{i1,2} = \frac{2 \cdot c \cdot b \pm \sqrt{(2 \cdot c \cdot b)^2 - 4 \cdot (b^2 + a \cdot b) \cdot (c^2 - a \cdot d)}}{2 \cdot (b^2 + a \cdot b)} \quad (59)$$

$$N = \frac{c - b \cdot \left( \frac{2 \cdot c \cdot b \pm \sqrt{(2 \cdot c \cdot b)^2 - 4 \cdot (b^2 + a \cdot b) \cdot (c^2 - a \cdot d)}}{2 \cdot (b^2 + a \cdot b)} \right)}{a} \quad (60)$$

Сила взаимодействия клубней с лопастью:

$$F_k = F_i - N = \frac{4 \cdot b^2 \cdot c \pm (a - b) \cdot \sqrt{a \cdot b \cdot (c^2 - b \cdot d - a \cdot d)}}{2 \cdot a \cdot (b^2 + a \cdot b)} \quad (62)$$

Сила действующая на один клубень:

$$F_{\max} = F_k \cdot \frac{D}{b}, \quad (63)$$

где: D – диаметр клубня, м.

Нормальные напряжения возникающие в клубне не должны превышать допускаемого напряжения  $[\sigma]$ .

Максимальные нормальные напряжения в клубне  $\sigma_{\max}$  можно определить, используя решение задачи Герца о давлении шара на плоскость. Это решение имеет вид:

$$s_{\max} = 0,338 \cdot \sqrt[3]{4 \cdot F_{\max} \cdot \frac{E_k^2 \cdot E_i^2}{(E_k + E_i)^2} \cdot \frac{4}{R_k^2}} \quad (64)$$

где:  $F_i = F_{\max} \cdot \cos b$  – сила нормального давления клубня на лопасть;

$R_k$  – радиус клубня.

Условие прочности для клубня запишется в виде:

$$0,338 \cdot \sqrt[3]{4 \cdot F_{\max} \cdot \cos b \cdot \frac{E_k^2 \cdot E_i^2}{(E_k + E_i)^2} \cdot \frac{1}{R_k^2}} \leq [S] \quad (65)$$

Из (65) находим допустимое значение силы [F]:

$$[F_{\max}] = \frac{[S]^3 \cdot (E_k + E_i)^2 \cdot R_k^2}{0,338^3 \cdot 4 \cdot \cos b \cdot E_k^2 \cdot E_i^2} \quad (66)$$

Сила взаимодействия клубня с лопастью в основном зависит от угловой скорости вращения отбойного валика. Максимально допустимую угловую скорость вращения которого найдем из равенства  $F_{\max}$  и  $[F_{\max}]$ .

Приравниваем равенства (63) и (66). Тогда с учетом (62) будем иметь:

$$\begin{aligned} \frac{D}{b} \cdot \frac{2 \cdot c \cdot b \cdot m(a-b) \cdot \sqrt{(2 \cdot c \cdot b)^2 - 4 \cdot (b^2 + a \cdot b) \cdot (c^2 - a \cdot d)}}{2 \cdot a \cdot (b^2 + a \cdot b)} \\ = \frac{[S]^3 \cdot (E_k + E_i)^2 \cdot R_k^2}{0,338^3 \cdot 4 \cdot \cos b \cdot E_k^2 \cdot E_i^2} \end{aligned} \quad (67)$$

При заданных параметрах лопасти, клубня и столона выражения (67) является уравнением относительно угловой скорости вращения отбойного валика.

Сгруппируем члены при одинаковых степенях  $c$ .

Угловая скорость  $\omega$  входит только в выражение  $c$ . Поэтому уравнение (68) можно рассматривать как квадратичное уравнение относительно  $c$ :

$$\begin{aligned} c^2 \cdot (16 \cdot b^4 - [(a-b)^2 \cdot a \cdot b]) + c \cdot (-8 \cdot b^2 \cdot k) + \\ + [k^2 + (a-b)^2 \cdot a \cdot b \cdot d \cdot (a+b)] = 0 \end{aligned}$$

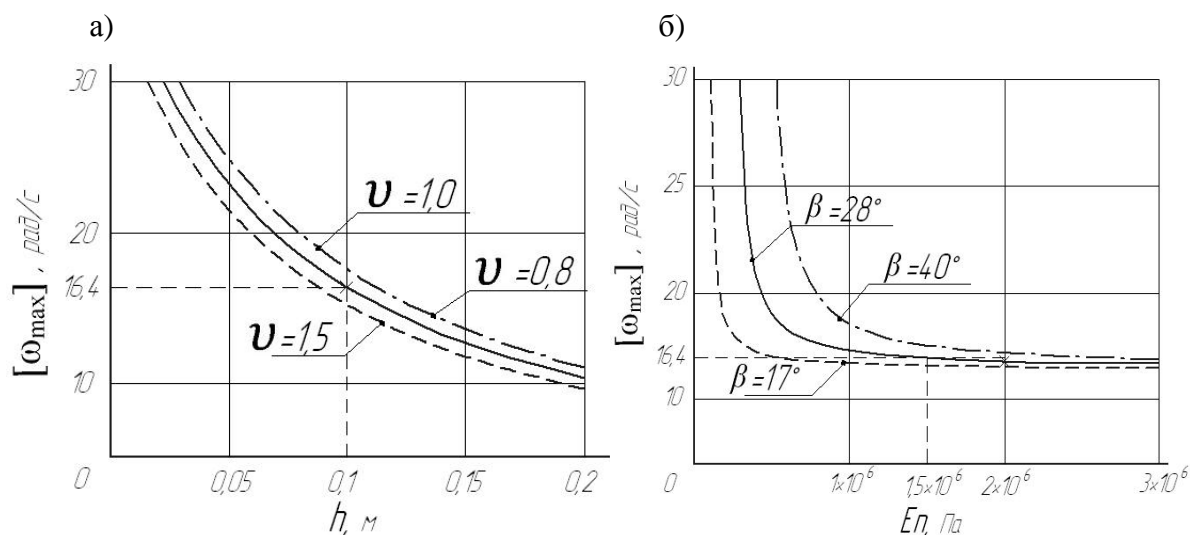
Решая его, получаем:

$$\begin{aligned} c = \left( -(-8 \cdot b^2 \cdot k) - \sqrt{(-8 \cdot b^2 \cdot k)^2 -} \right. \\ \left. -4 \cdot 16 \cdot b^4 - [(a-b)^2 \cdot a \cdot b] \cdot [k^2 + (a-b)^2 \cdot a \cdot b \cdot d \cdot (a+b)] \right) \div \\ \div [2 \cdot (16 \cdot b^4 - [(a-b)^2 \cdot a \cdot b])] \end{aligned} \quad (69)$$

Используя выражение с из (58), найдем допустимое значение  $\omega$ :

$$[w] = \left( \frac{c}{t} - u \right) / (R + h) \quad (70)$$

Для выбора рациональных параметров клубнеотражателя органа выносной сепарации проанализируем графики (рис. 4), полученные на основе выражения (69) и (70). При этом зададим значения следующих величин:  $Cб=0,01$  - жесткость столона на растяжение, Н/м;  $u=1$  - скорость клубня, м/с;  $t=0,05$  - продолжительность второй фазы удара, с;  $D=0,05$  - средний диаметр клубня, м;  $[\sigma]=0,83$  - нормальное напряжение в клубне, Па;  $E_k=2,7 \cdot 10^6$  - модуль упругости (модуль Юнга) клубня, Н/м<sup>2</sup>.



а) от высоты лопасти при различных величинах скорости движения клубня

б) от материала лопасти при различных величинах угла ее поворота относительно оси вращения отбойного валика

$[\omega_{max}]$  – максимально допустимая угловая скорость лопастного отбойного валика, рад/с;

$\beta$  – угол поворота лопасти относительно оси вращения отбойного валика, градус;  $E_n$  – модуль упругости лопасти, Па;  $h$  - высота лопасти, м;  $v$  - скорость движения клубня, м/с.

Рисунок 4. Зависимость изменения угловой скорости вращения лопастного отбойного валика от его параметров.

Графически зависимость максимально допустимой угловой скорости вращения  $[\omega_{max}]$  лопастного отбойного валика от скорости перемещения

клубня на поверхности органа выносной сепарации представлена на рисунке 4а, а зависимость  $[\omega_{max}]$  от модуля упругости материала лопасти  $E_{л}$  при различных величинах угла поворота лопастей относительно своей оси  $\beta$  – на рисунке 4б. Поскольку на большинстве картофелеуборочных машин поступательная скорость полотна выносной сепарации не превышает 1 м/с, и, принимая рабочий зазор установки отбойного валика  $\delta=0,03$  м, величину  $[\omega_{max}]$  целесообразно ограничить значением 16,4 рад/с, что соответствует частоте вращения 153 об/мин.

Принимаем максимально допустимую угловую скорость вращения лопастного отбойного валика  $[\omega_{max}]=16,4$  рад/с, модуль упругости материала изготовления лопасти  $E_{л}=1,5 \cdot 10^6$  Па, высоту лопасти  $h=0,1$  м, угла поворота лопасти относительно оси вращения отбойного валика  $\beta=0,5$  рад ( $\approx 29$  град).

#### Библиографический список

1. Основные тенденции развития высокопроизводительной техники для картофелеводства / Колчин Н.Н., Бышов Н.В., Борычев С.Н. и др. - Тракторы и сельхозмашины. 2012. № 4. С. 46-51
2. Рембалович Г.К. Повышение эффективности функционирования и надежности сепарирующей горки картофелеуборочных машин. Автореферат диссертации на соискание ученой степени кандидата технических наук / Мордовский государственный университет им. Н.П. Огарева. Саранск, 2005
3. Инновационные решения уборочно-транспортных технологических процессов и технических средств в картофелеводстве / Рембалович Г.К., Бышов Н.В., Борычев С.Н. и др. - Сборник научных докладов ВИМ. 2011. Т. 2. С. 455-461.
4. Технологическое и теоретическое обоснование конструктивных параметров органов вторичной сепарации картофелеуборочных комбайнов для работы в тяжелых условиях / Н.В. Бышов, С.Н. Борычев, И.А. Успенский [и др.] // Вестник РГАТУ. – 2012. - № 4(16). - С. 87-90.
5. Патент № 2245011, RU, М.кл.2 А 01 D 33/08 Устройство для отделения корнеклубнеплодов от примесей / Борычев С.Н., Рембалович Г.К., Успенский И.А. – Оpubл. 12.05.2003.
6. Патент № 63637, RU, М.кл.2 А 01 D 33/08 Устройство для отделения корнеклубнеплодов от примесей / Паршков А.В., Рембалович Г.К., Борычев С.Н. и др. – Оpubл. 04.10.2006.
7. Патент № 95960, RU, М.кл.2 А 01 D 33/08 Устройство для отделения корнеклубнеплодов от примесей / Безносюк Р.В., Бышов Д.Н., Рембалович Г.К. и др. – Оpubл. 20.07.2010, бюл. №20.

8. Патент № 2454850, RU, М.кл.2 А 01 D 33/08 Устройство для отделения корнеклубнеплодов от примесей / Павлов В.А., Рембалович Г.К., Безносюк Р.В. и др. – Оpubл. 14.02.2011.

#### References

1. Osnovnye tendencii razvitija vysokoproizvoditel'noj tehniki dlja kartofelevodstva / Kolchin N.N., Byshov N.V., Borychev S.N. i dr. - Traktory i sel'hozmashiny. 2012. № 4. S. 46-51

2. Rembalovich G.K. Povyszenie jeffektivnosti funkcionirovanija i nadezhnosti separirujushhej gorki kartofeleuborochnyh mashin. Avtoreferat dissertacii na soiskanie uchenoj stepeni kandidata tehniceskix nauk / Mordovskij gosudarstvennyj universitet im. N.P. Ogareva. Saransk, 2005

3. Innovacionnye reshenija uborochno-transportnyh tehnologicheskix processov i tehniceskix sredstv v kartofelevodstve /Rembalovich G.K., Byshov N.V., Borychev S.N. i dr. - Sbornik nauchnyh dokladov VIM. 2011. T. 2. S. 455-461.

4. Tehnologicheskoe i teoreticheskoe obosnovanie konstruktivnyh parametrov organov vtorichnoj separacii kartofeleuborochnyh kombajnov dlja raboty v tjazhelyh uslovijah/ N.V. Byshov, S.N. Borychev, I.A. Uspenskij [i dr.] // Vestnik RGATU. – 2012. - № 4(16). - S. 87-90.

5. Patent № 2245011, RU, М.кл.2 А 01 D 33/08 Ustrojstvo dlja otdelenija korneklubneplodov ot primesej / Borychev S.N., Rembalovich G.K., Uspenskij I.A. – Opubl. 12.05.2003.

6. Patent № 63637, RU, М.кл.2 А 01 D 33/08 Ustrojstvo dlja otdelenija korneklubneplodov ot primesej / Parshkov A.V., Rembalovich G.K., Borychev S.N. i dr. – Opubl. 04.10.2006.

7. Patent № 95960, RU, М.кл.2 А 01 D 33/08 Ustrojstvo dlja otdelenija korneklubneplodov ot primesej / Beznosjuk R.V., Byshov D.N., Rembalovich G.K. i dr. – Opubl. 20.07.2010, bjul. №20.

8. Patent № 2454850, RU, М.кл.2 А 01 D 33/08 Ustrojstvo dlja otdelenija korneklubneplodov ot primesej / Pavlov V.A., Rembalovich G.K., Beznosjuk R.V. i dr. – Opubl. 14.02.2011.